

UDC 621.746.047 : 621.771.011.016.2 : 539.4.014.11

論 文

プラスチシンによる圧延および連続铸造鉄片の 応力シミュレーションの方法*

千々岩健児**・畠村洋太郎**・鈴木 徹郎***

Experimental Method of Stress Simulation of Rolling and Continuously Cast Slab by Plasticine

Kenji CHIJIIWA, Yotaro HATAMURA, and Tetsuro SUZUKI

Synopsis:

A new experimental method for stress analysis of a steel slab in hot rolling or continuously cast slab by plasticine is developed. When plasticine is used for simulation of steel in high temperature, it is thought that not only the simulation of deformation, which has been made conventionally, but also the simulation of stress and force is capable. First, many kinds of stress detectors —miniature pressure cell, miniature frictional stress cell, and internal stress cell— are developed with success. Then an apparatus of simulation with 2 stand rolls equipped with above detectors is made, and it is possible to measure the following items:

- (i) Distribution of stresses (pressure, circular frictional stress and axial frictional stress) on the surface of a roll.
- (ii) Distribution of internal stress (direction and magnitude of principal stress) in a workpiece.
- (iii) Deformation of workpiece and load or torque acting on a roll.

Finally an experiment of rolling by single stand is made as an example. Deformation, load and torque, distributions of many kinds of stresses are clarified and the precision of the experimental method is confirmed.

1. 緒 言

塑性加工による変形や、内部の塑性流動などを調べるために広く用いられているプラスチシンは、その応力—ひずみの関係、降伏条件、応力のひずみ速度依存性等が高温(約1000°C近辺)の鋼のそれらと相似であり、モデル加工工具とモデル材料との摩擦条件を適当に選べば、変形のみならず応力分布や変形に要する力などをも、シミュレートすることが可能なはずであることを別報¹⁾で述べた。

本報では、プラスチシンの上述の性質を利用して熱間圧延や連続铸造鉄片の引抜時に、ロール表面に生じる圧力や摩擦応力等の分布および、加工材料内に生じる応力分布等の応力シミュレーションの方法について述べる。

2. 各種の小形応力検出器

2.1 小形応力検出器について

プラスチシンによつて応力シミュレーションを行うには、加工工具たるロールと加工材料との接点の応力状態および加工材料内部の応力状態を検出する必要がある。前者は、ロール半径方向の圧力・円周方向の摩擦応力・軸方向の摩擦応力の3つから成立つており、これらを検出するには、圧力計および摩擦力計が必要である。また後者を検出するには、加工材料内部の応力を直接に検出する内部応力計が必要である。以上3つの検出器のうち、圧力計については、既に、いくつかの市販品があり、シミュレーション実験に利用された例もある²⁾が、いずれも受圧部分の直径が大きかつたり、液圧用のものの援用

* 昭和51年4月日本会講演大会にて発表 昭和54年8月3日受付 (Received Aug. 3, 1979)

** 東京大学工学部 工博 (Faculty of Engineering, The University of Tokyo, 7-3-1 Hongo Bunkyo-ku 113)

*** 東京大学大学院(現:住友軽金属工業(株)) (Graduate School, The University of Tokyo, Now Sumitomo Light Metal Industries, Ltd.)

のために十分な性能をもつていなかつたりしている。また、摩擦力計・内部応力計は、筆者らが土および粉粒体用に開発したもの³⁾の他は見当たらないようである。

そこで、筆者らは、既に土および粉粒体用に開発した圧力計・摩擦力計・土中セルを原型として、プラスチックのモデル実験用の各種応力検出器を開発した。これらはいずれも感受部分が小さく(直径3mm), ロール表面各部の応力分布や、加工材料内部の主応力分布等を検出するのに適したものである。

2.2 小形圧力計

ロール表面に働く圧力(ロール半径方向の応力)の検出に用いる小形圧力計の構造をFig. 1に示す。ロール表面の曲率と同一の曲率をもつた圧力計キャップの一部が受圧部になっている。受圧柱(直径3mm)に働く圧力はボールを介して受圧板に伝わり、その中心部の変位量が更にボールを介して検出板に伝わる。検出板裏面にはひずみゲージが貼付けられており、受圧部に加わった圧力に応じた電気抵抗の変化が生じる。

この圧力計の性能の例をFig. 2に示す。直線性・非履歴性とも良く、十分な性能を持つていることがわかる。

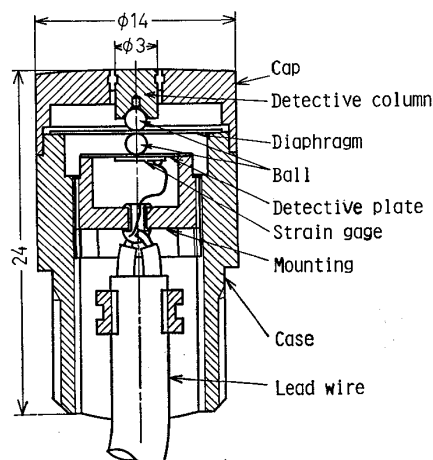


Fig. 1. Structure of miniature pressure cell.

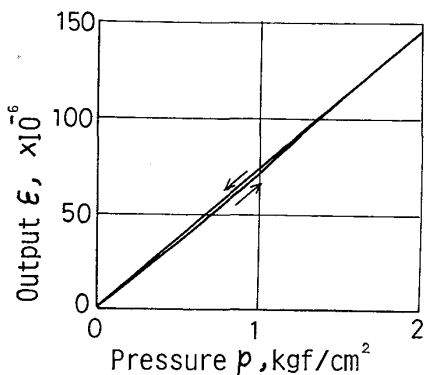


Fig. 2. Performance of miniature pressure cell.

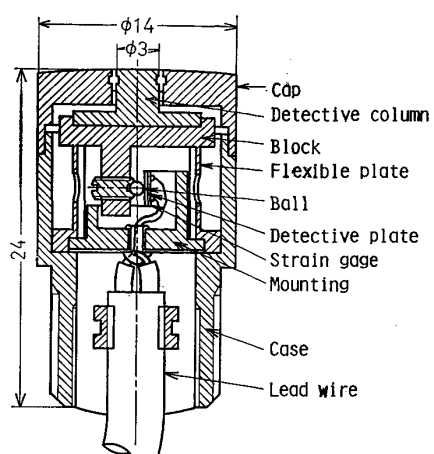


Fig. 3. Structure of miniature frictional stress cell.

る。

2.3 小形摩擦力計

ロール表面に働く、円周方向または軸方向のせん断応力(これらをそれぞれの方向の摩擦応力と呼ぶこととする)の検出に用いる小形摩擦力計の構造をFig. 3に示す。ロール表面の曲率と同一の曲率をもつた摩擦力計ヘッド部の一部が感受部となっている。受圧柱(直径3mm)に働く摩擦応力は、直立する2枚の平行平板構造をもつたわみ板で支えられており、受圧板は受圧柱を通じて伝わった摩擦応力が平行平板のバネ力とつりあうところまで変位する。この変位量が頂部より下がった伝達柱についているボールを介して検出板に伝わり、検出板裏面に貼り付けてあるひずみゲージの電気抵抗の変化に変換される。なお検知される摩擦応力の方向は、平行平板の向きによって定まり、平行平板構造の性質から、直交する方向の摩擦応力には、実際にわずかな干渉しか受けない。従つて、平行平板の方向が2種類のものを別々に作り、一方を軸方向用、他方を円周方向用とする。

この摩擦力計の性能の例をFig. 4に示す。直線性、非履歴性ともよく、十分な性能をもつていることがわかる。

2.4 内部応力計

圧延材や連続铸造鋳片などに相当する加工材の内部応力の検出に用いる内部応力計の構造をFig. 5に示す。直径6mmの丸棒中に120°ごとの方向を向いた3個の圧力計が埋込んであり、また丸棒の根元には傾斜計1個が取り付けられている。圧力検出部の受圧柱は、直径3mmであり、平行平板構造をもつた検出ブロックによつて支えられている。検出板裏面にはひずみゲージが貼り付けられており、圧力が検出される。傾斜計は、2.3に

述べた摩擦力計の検出ブロック上部に錐のついた構造になつてゐる。この部分は内部応力計が加工材内部に埋め込まれたときにも、外部に出たままになつてゐる。

圧力検出部および傾斜検出部の性能の例を Fig. 6 に

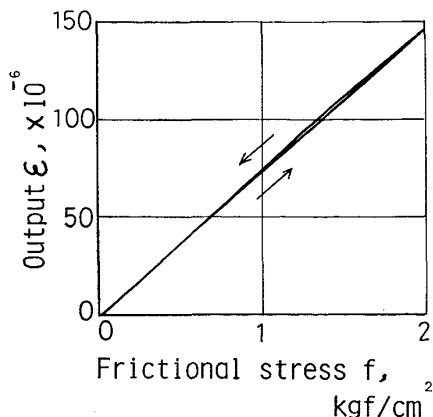


Fig. 4. Performance of miniature frictional stress cell.

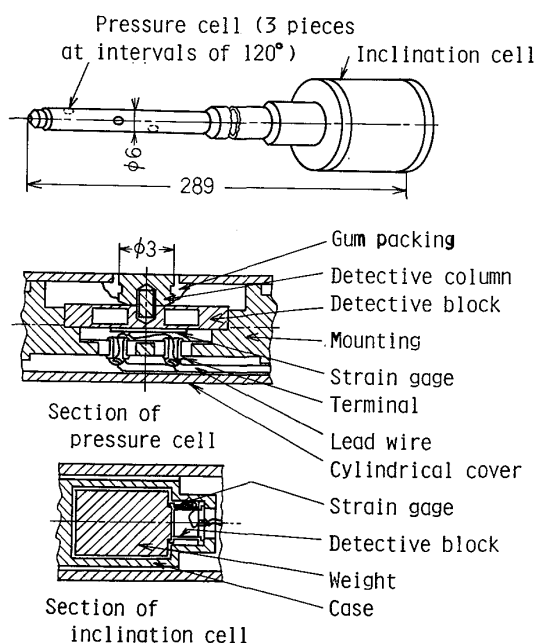


Fig. 5. Structure of internal stress cell.

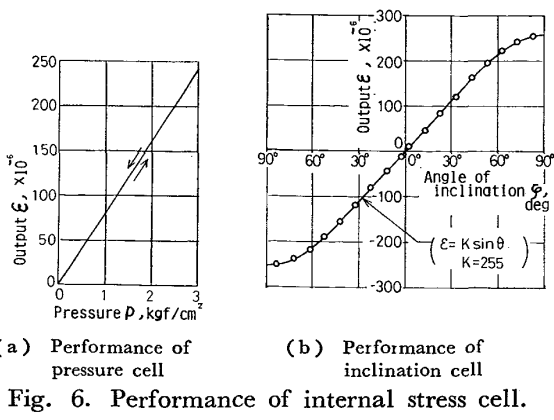


Fig. 6. Performance of internal stress cell.

示す。それぞれ、直線性（または正弦性）・非履歴性がよく、十分な性能をもつてゐることがわかる。

加工材料内部に生じる応力は、3方向の圧力 p_a , p_b , p_r および内部応力計自体の回転角 ϕ として検出される。これら4つの出力から、簡単な計算により、主応力の大きさ σ_1 , σ_2 および主応力の水平面となす角 ω が求められる³⁾。

この内部応力計は、ロール軸と直交する平面内の2次元応力状態を測定するものである。加工材内部の応力状態は一般的にはつねに3次元的であるが、ロールによる板圧延の加工を近似的に考察する場合には、2次元応力状態で考えても差し支えないものとして、このような内部応力計を製作した。

圧力検出部・傾斜検出部の個々の性能は前述のように十分なものであるが、内部応力計全体として、プラスチシン内部の応力を正しく検出しているかどうかを確かめる必要がある。

まず、あらかじめ応力状態が分かつてゐるところへ、内部応力計を埋め込み、正しく方向と大きさとを検出しているかを確かめたのが Fig. 7 である。上下をグリースで潤滑したプラスチシンに、内部応力計を水平軸まわりの種々の向きで埋め込み、上下荷重を加え、平均圧力（約 1 kgf/cm^2 程度）と内部応力計出力から計算した最大最小主応力が表示してある。この図から、内部応力計はプラスチシン内部の主応力の大きさと方向とをほぼ正しく検出していることがわかる。

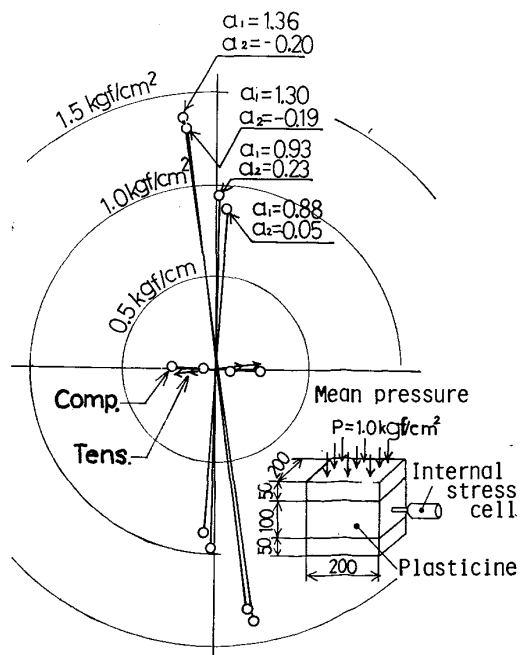


Fig. 7. Directional accuracy of internal stress cell.

プラスチシン内部に生じている応力がある程度以下の場合、プラスチシンの見かけの剛性と、内部応力計の見かけの剛性との差による応力集中が生じ、異常に高い応力であるかのように検出してしまう。最小主応力はほぼ零の状態で、最大主応力の大きさと、検出される見かけの主応力との関係を調べたのが Fig. 8 である。最大主応力が 0.1 kgf/cm^2 程度だと応力集中が激しく、真の値の約 2.3 倍の値を検出してしまうが、 1.0 kgf/cm^2 程度だと、約 1.1 倍程度になり、そのまま真の値とみなしても差し支えない程度になることがわかる。

3. 圧延および連続铸造引抜部のモデル実験の方法

3.1 シミュレーション装置

プラスチシンを用いた圧延および連続铸造铸片の引抜のモデル実験装置の概要を Fig. 9 に、装置の全景を

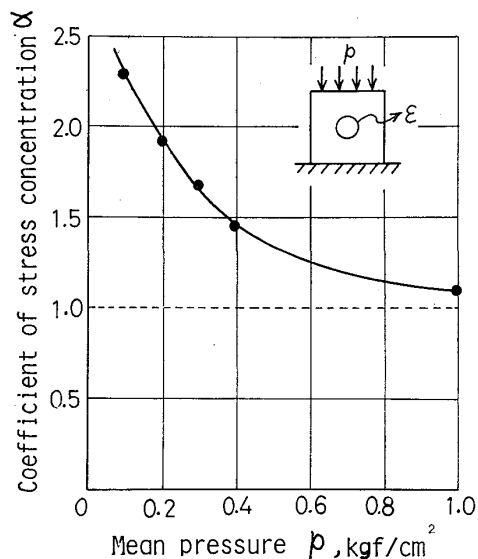


Fig. 8. Stress concentration induced by insertion of internal stress cell.

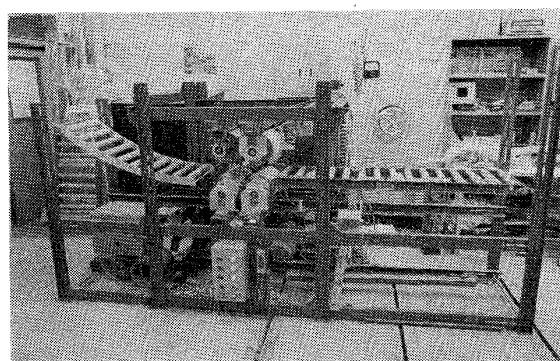


Photo. 1. General view of the equipment of simulation.

Photo. 1 に示す。

圧延ロールまたは連続铸造引抜部のピンチロールに対応するロールは 2 対あり、それぞれのロールは 2 方向ロードセルに支えられ、トルクメータを介して、チェインによる減速・伝達装置を通じ、電動モータで駆動される。ロールはいずれも同寸法で、直径 200 mm、長さ 320 mm であり、軟鋼製である。それぞれのロールの回転速度は、チェイン減速機のスプロケットを交換することで、所定の回転速度 (0.98~27 rpm) にすることができる。それ故、2 対のロール間で加工材に圧縮を加えたり、引張を加えたりすること、及び湾曲形加工材の曲げ戻しが可能である。もちろん単段で用いることもできる。上下のロール間隔は 0~100 mm であり、ロードセル取付部の隙間ブロックの厚さで調節を行う。ロール入口までのガイドロールは、圧延及び連続铸造铸片の引き抜きに応じて水平と湾曲の両方が用意されている。それぞれのロールの直前に炭酸カルシウム粉を塗付するための潤滑ロールが取り付けてある。

このシミュレーション装置を用いて測定される項目は、次のとおりである。(i) ロールにかかる荷重・トルク、(ii) ロール表面にかかる応力の分布、(iii) 加工材内

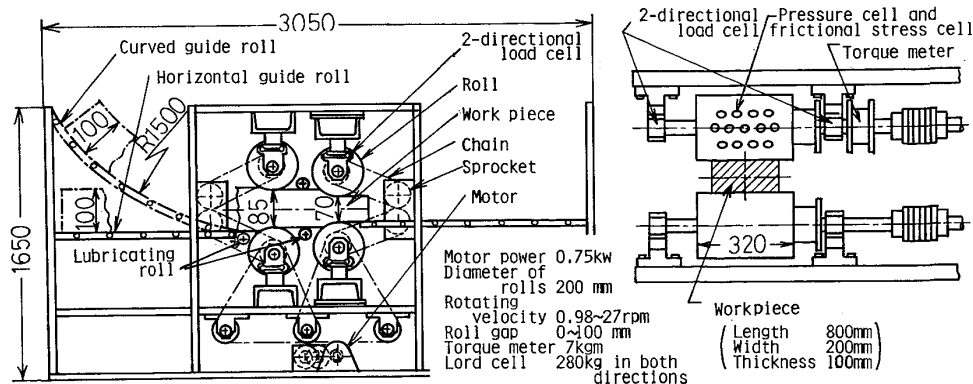


Fig. 9. Experimental equipment of simulation of rolling and continuous casting by plasticine.

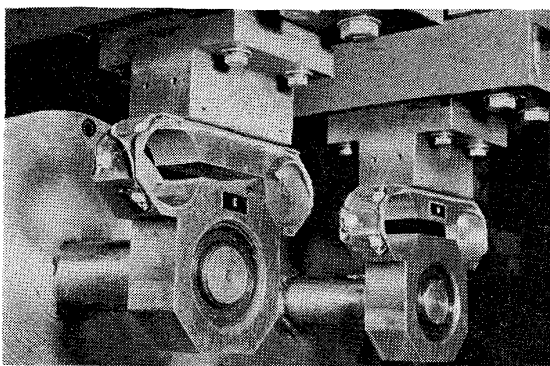


Photo. 2. 2-directional load cell.

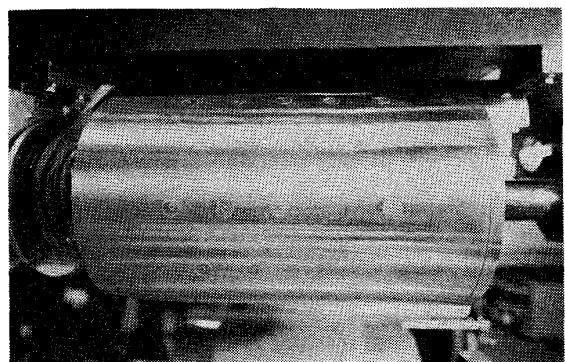


Photo. 3. Situation of fitting of pressure cells and frictional stress cells on the roll.

部に生じる応力の分布、(iv)加工材の変形。

以上の検出方法のうち、(i)～(iii)の力・トルク・応力等の検出はすべてひずみゲージによるものであり、検出器—ひずみ増幅器—電磁オシログラフと接続して測定を行つてある。

3.2 荷重・トルクの測定

本研究のために、新たに、2方向の荷重を同時に測定する、軸受付きのロードセルを製作した。その外観を Photo. 2 に示す。基本構造は、切削動力計に広く用いられているメガネ型ロードセル（“8角形 リング”，“弾性環”ともいう⁴⁾）と同じである。この2方向ロードセルは直線性・非履歴性とも良好であるが、方向分離性能が悪く、誤差が最大 3° である。従つて水平方向の力が小さいときには、鉛直方向の力の干渉をうけるので、正しい値を測定することはできない。このような場合、ロールにかかる水平力を求めるには、後述のように摩擦力計・圧力計の積分値を用いることよい。

3.3 応力の測定

ロール表面に埋め込んだ小形圧力計・摩擦力計でロール表面に加わる応力の分布を測定した。これらの応力検出器のロールへの取付状況を Photo. 3 に示す。ロール表面と同一の曲率をもつた検出器頂部（直径 14 mm）および受圧部（直径 3 mm）がロール表面の形状と同一になつていることが分かる。

加工材内部に、内部応力計を埋め込んで、加工材内部に生じる応力の分布を測定した。圧力検出部が加工材内部の所定位置に来るようセッティングし、傾斜検出部は加工材の外部に出ている。内部応力計を加工材へ埋め込むには、加工材の所定位置に溝を切り、圧力検出部が所定の位置に来るよう置いてから、プラスチシンを少しづつ押しつけて、埋め戻す。丸1日放置してプラスチシン内部の局部的な残留応力を除去してから、モデル実験を行う。

3.4 変形の測定

加工材の上面・側面に描いた格子模様で表面の変形を測定する。内部の変形は黒色に着色したグリースを、加工材成形中または成形後に細穴に注入し、加工後に所要の断面を細いピアノ線を用いて切り出し、標点の位置を測定することで求めた。

3.5 試料の取り扱いなど

プラスチシンをモデル材料として、圧延や連続铸造铸片の引き抜きなどの応力シミュレーションを行う場合には、変形のみを調べる場合に比べ、より厳しい取り扱いが必要である。温度に対する考慮など、基本的な留意点は別報¹⁾に述べたとおりであるが、実験手法としての具体的な留意点としては、成形・時効・潤滑の3つがあげられる。

試料の成形方法としては、主に積層による方法を用いた。新たに製作した試料成形用の圧延装置を用いて、混入した空気を取除きながら、約 5 mm の厚さのシートを多数作つておく。空気の巻き込みのないように一枚ずつ積み重ねながら、圧下をかけ、大きなブロックを作り上げ、ワイヤーカッターで所定の寸法に仕上げる。積層の際には、繰り返し使用の便を考え、溶剤等は用いない。

でき上がった加工材は、内部に積層による残留応力や温度差などが残つている。これらを取り除き、均質でしかも異方性の少ない材料とするため、丸1日以上室温で放置する。これによりほぼ必要な性質を賦与できることは、別報¹⁾に述べたとおりである。

摩擦状態を安定させ、しかも一定の摩擦係数にするため、潤滑剤としては炭酸カルシウム粉を用い、潤滑剤の塗付量を一定にするため、フェルト状のローラーを用いた。ガイドロールまたは圧延ロールを通過すると、表面の潤滑剤は加工材内部に押し込まれてしまい、潤滑効果が変化してしまう。そこで、前述の潤滑ローラーを各圧延ロール直前に取り付け、安定した潤滑が行われるよう

にした。

プラスチックの力学的性質が上述の要素の他、多くの要素によつて左右されるので、加工材料の変形能を各々の実験ごとに確かめておくことが望ましい。その具体的な方法としては、成形した試料の一部を切出し、加工実験と同時に一軸圧縮試験を行い、応力-ひずみの関係を求める。このようにして得たデータから、変形能を基準にして標準状態に換算しなおせば、各種応力の測定値の比較が容易に行える。

4. 単段圧延のシミュレーションの例

4.1 単段圧延

2, 3 に述べた応力検出器および実験装置を用いたシミュレーションの例として、単段圧延のシミュレーションを取り上げよう。加工材（以下“試料”という）の寸法は、厚さ 100 mm、幅 200 mm、長さ約 800 mm であり、表面の潤滑は炭酸カルシウム粉で行つた。試料は成形後丸 1 日以上室温（約 20°C）で放置したものであり、実験時の室温および試料の温度は約 20°C である。この試料を単段のロールで圧延する。ロール間隔は 85 mm であり、圧延速度は 1 cm/s とした。このような条件のもとでシミュレーションを行い、圧延によつて生じる試料の変形・ロール表面の応力分布・試料内部の応力分布・ロールにかかる圧下力およびトルク等を測定した。

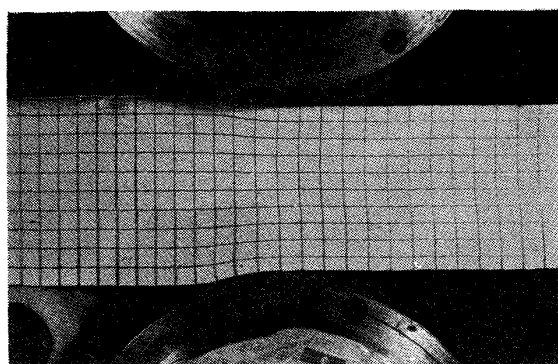
この応力シミュレーションは、1000°C 程度の鋼の熱間圧延のシミュレーションを行うためのものであり、実物のロール直径が 400 mm（長さの相似比 $l^*=2$ ），圧延速度が 2 m/s（時間の相似比 $t^*=1/200$ ），のものに対応させて考えると、応力の相似比 $\sigma^*=1102$ ，力の相似比 $F^*=4410$ となる。いいかえれば、このシミュレーションで得た応力を 1102 倍し、力を 4410 倍すれば、実物の圧延時の応力や力が推定できることになる¹⁾。

4.2 試料の変形

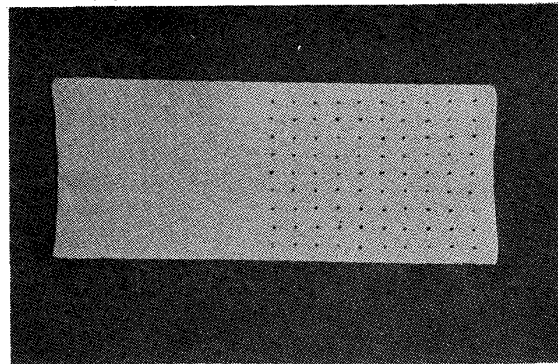
単段圧延によつて生じる試料の変形を Photo. 4 に示す。Photo. 4-(a) は試料側面に描いた一辺 1 cm の正方形格子がロールによつて圧延され、長方格子に変化している様子を表している。Photo. 4-(b) は、試料横断面の縦・横 1 cm の格子点に注入した着色グリース標点の変形後の写真である。

4.3 ロール表面にかかる応力の分布

ロール表面にかかる応力分布の測定例のうち、まずロール表面中央部にかかる圧力と摩擦応力の分布の例を Fig. 10 に示す。試料に接触するとともに圧力が上がり始め、急激に上昇しピーニング現象を起こしたのち、なだらかな山型になり、ゆるやかに下降して終端に至る。



(a) Deformation of side face



(b) Deformation of transverse section

Photo. 4. Deformation of workpiece induced by single stand rolling.

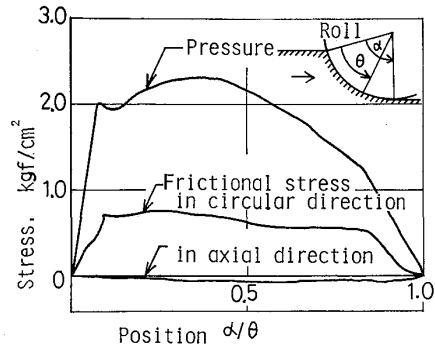


Fig. 10. Distribution of pressure and frictional stresses acting on the central surface of roll.

円周方向の摩擦応力（ロールが受ける応力がロールの回転方向と逆方向のときを正にとる）は、ほぼ圧力と同様の形を呈しており、この例では負にはなつていない。軸方向の摩擦応力は、はじめから終わりまでほとんど零となつていて、これは測定位置がロール中央部であるから、当然のことである。この例では、合摩擦応力（円周方向摩擦応力と軸方向摩擦応力との合応力）と圧力との比、すなわち摩擦係数は 0.3~0.45 となつていて、一方、別報¹⁾で述べた摩擦実験からは、炭酸カルシウム粉を使えば、ロールによる加工での摩擦係数も約 0.6 になるものと考えられるが、上記のような値になつているの

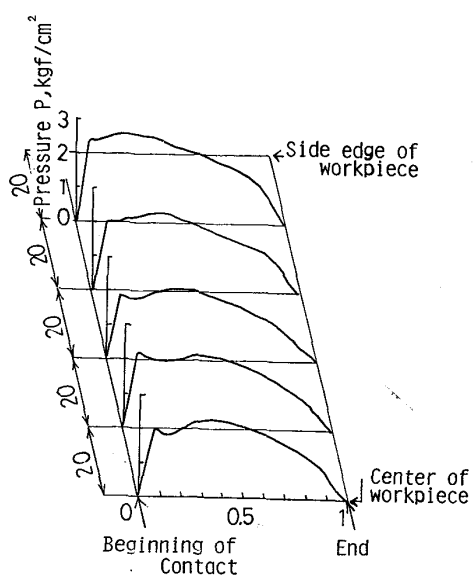


Fig. 11. Distribution of pressure acting on the surface of roll.

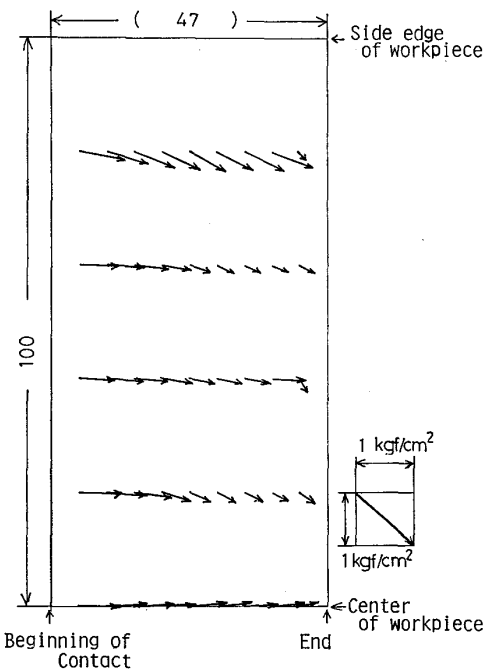


Fig. 12. Distribution of frictional stress acting on the surface of workpiece.

は、ロールに接触しているプラスチシンのすべり速度が、摩擦実験のそれに比べてはるかに小さいことが原因であると思われる。

ロール表面にかかる圧力分布を Fig. 11 に示す。ロール中央部から、圧延材の側端付近までの 5 つの縦断面の圧力分布が描いてある。この例では、中央部から側端までほとんど同じ形と大きさになつてている。この試料のような縦横比 (1 : 2) の断面のロール加工でも、圧力分布が軸方向に一様であることは特徴的なことである。

試料表面にかかる摩擦応力の分布を Fig. 12 に示す。ロール各部が試料に与えている合摩擦応力を、ベクトルの形で表示している。このベクトルの方向は、試料がロールから受けている微小部分での力（正しくは応力）の方向を示す訳であるから、試料の微小部分がロールと接触しながら相対的にすべる方向の逆方向にはほぼ一致しているものと考えられる。このように考えると、この例では、試料はロール表面に接触したことで、ロールの軸方向に広がるとしていること、この例では、全面にわたって、試料はロールにひきずられながら進み、ロールより先進する部分がないことなどがわかる。

以上、Fig. 10~12 の 3 つの応力分布図と、4.2 で述べた試料の側面での変形や、横断面の変形とは、よくつじつまが合っている。

4.4 試料内部の応力分布

試料内部の応力分布を知るために、2.4 に述べた内部応力計を試料の中立面から高さ約 1.0 cm おきに 5 個を、前後約 10.0 cm ごとにずらして埋め込んだ。圧力検出部は、2 番目の圧力検出部 (p_β 用) がちょうどロール中央部にくるようにセットし、3 個の圧力検出部で、ほぼ試料中央部の縦断面内の 2 次元応力状態が測定できるようにした。

3 個の圧力検出部および 1 個の傾斜検出部の測定波形の例を Fig. 13 に示す。

内部応力計の出力から、2.4 に述べた計算を行ない、写真で各内部応力計の位置を求め、最大主応力・最小主応力の方向と大きさとをベクトルの形で表示したのが、Fig. 14 である。圧縮応力は単に“棒状”で示し、引張応力は“矢印”で示してある。この図から、圧延によって生じる試料内部の主応力分布について、次のことがわかる。(i) 主応力の分布は、最大主応力(圧縮)がすべてロール表面から発し、放射状に広がりながら進行方向へ伝わるもの、後部へ伝わるもの、中立面と直交し、收れんして反対側へ吸収されるもの、などになり、また、

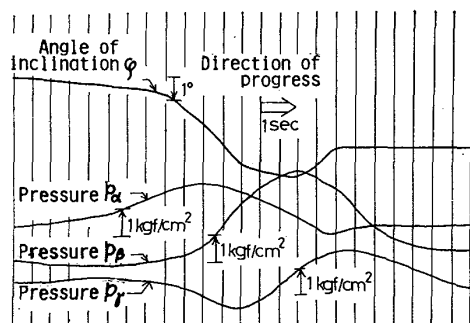


Fig. 13. Example of the measured data by internal stress cell.

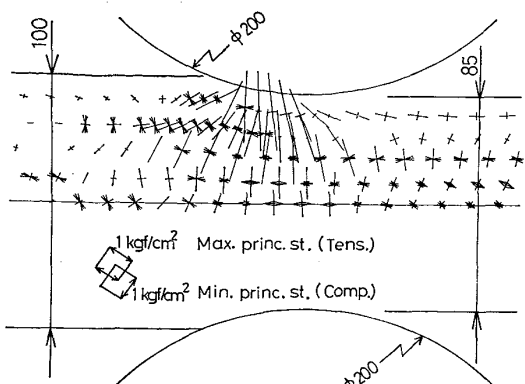


Fig. 14. Distribution of internal stress in workpiece induced by single stand rolling.

最小主応力は上記の最大主応力と直交し、多くは試料の自由表面から発し、他の自由表面までつながっている。
(ii) 最大主応力(圧縮)の大きさは、ロール近傍が最も大きく、これから遠のくにつれて減少する。最小主応力は多くは圧縮であるが、ロール直下の中央部で比較的大きな引張りになっている。

5. 検討

5.1 応力測定の精度について

各種応力検出器・荷重やトルクの検出器の単体としての性能が十分良好であることは既に述べたとおりであるが、これらを組み合わせて使用したとき、果たして各々のデータが矛盾なく同一の値を示すのかどうかが問題となる。これらが一致している場合には、本研究で得たデータは少なくともプラスチシンを加工材料としたときの、ロール加工の応力解析値としては、すべて真の値を与えていたと考えても差し支えないであろう。そこで、4に示した圧延のシミュレーションの例につき、応力測定の精度について検討する。

まず、2方向ロードセルについて考える。測定された鉛直力は水平力よりもはるかに大きいので、後者による前者への干渉は考えないでよく、鉛直力の出力は真の値そのものを表していると考えられる。ちなみに、下ロールにかかる鉛直力は上ロールのそれに比べ、試料の自重分だけ大きく出ており、上述の考え方の正しいことがわかる。これに対し、方向分離性能を考えると、水平力の出力は鉛直力の干渉を受けた値になつていて、真の値を示しているとは考えにくい。

従つて、以下の各種応力検出器の出力の検討は、2方向ロードセルによつて測定された鉛直力およびトルクメータ出力を基準にして行う。

各種の応力計によつて測定された応力の積分値と、ロ

ードセル・トルクメータによつて測定された値との比較をTable 1に示す。この表から次のことがわかる。

(i) 上ロールの圧延トルクについて、AとBとがよく一致することから、ロール表面に取り付けた摩擦力計はよく真の値を検出していることがわかる。(ii) 上ロールにかかる力のうち、鉛直力についてAとBとがよく一致することから、ロール表面に取り付けた圧力計はよく真の値を検出していることがわかる。また、感受部が小さく分解能が高いため、Fig. 10に示すように、圧力のピニング現象までとらえることができる。(iii) 上ロールにかかる力のうち、鉛直力につき、AとC₁, C₂とを比較すると、C₁, C₂ともにAより大きくなつてゐる。特にC₂は大きい。これらの比率はC₁が1.26倍、C₂が1.39倍である。この原因は、内部応力計挿入による応力集中である。C₁の積分路a-bでの最大主応力の大きさが3~0.5 kgf/cm²程度であり、C₂の積分路b-c-d-aでの最大主応力の大きさが1.3~0.5 kgf/cm²程度であるので、図8の内部応力計の挿入による応力集中のデータと比較すると、上述のくい違いが理解できる。なお、水平方向の力については、前述の圧力計・摩擦力計の出力の正しさから、これらの応力の積分値を基準に考える。C₁, C₂はともにBより大きい。これは最小主応力の値が圧縮・引張のいずれの場合も極めて小さいため、内部応力計の挿入による影響が著しいためと考えられる。

以上の検討により小型圧力計・小型摩擦力計・内部応力計等の各種応力検出器で、ほぼ真の応力を検出できることがわかつた。

5.2 実験方法について

シミュレーション実験で実物に生じている現象を推定しようとする場合に、シミュレーションの本質から次の3点が問題である。

- (i) モデル実験自体を正確に行うこと
 - (ii) モデル実験において正しい観測が行われること
 - (iii) モデル実験の支配的パラメータと実物の現象を支配しているパラメータとの対応が相似であること
- 以上のうち、測定が正しいこと、および相似性の保証は、それぞれ5.1および別報¹⁾で済んでいるので、次の2つについて検討しよう。

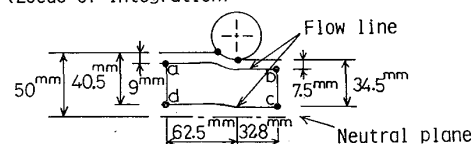
(i) モデル実験自体を正確に行うには、実験中に通常多くの注意を要することは当然として、特にモデル加工材の準備が重要であり、次の点について注意する必要がある。

- (a) 材料自体の性質がばらつかないこと……購入ロットをそろえる。なるべく色違いの混用をしない。実験が長期にわたるときには、揮発分を除くため、購入後の

Table 1. Comparison between the integrated values of stresses and the values measured by load cell or torque meter.

Symbol	Kind of measurement or calculation	Rolling torque of the upper roll kgf·m	Force acting on the upper roll		Force acting on the lower roll	
			Vertical force kgf	Horizontal force kgf	Vertical force kgf	Horizontal force kgf
A	Value measured by 2-directional load cells Value measured by torque meter	— 3.9	152 —	-10.9 —	168 —	18.2 —
B	Integration of the outputs of pressure cells and frictional stress cells	3.9	143.7	5.5	—	—
C ₁	Integration of the outputs of internal stress cells along the locus of a-b	—	191.5	22.9	—	—
C ₂	Integration of the outputs of internal stress cells along the locus b-c-d-a	—	210.6	48.1	—	—

(Locus of integration)



時間のたつたものを使用する。

(b) 均質なモデル材料を作る……なるべく薄片の積層を行う。各積層ごとに空気を完全に除く。潤滑剤などの異物の混入を防ぐ。成形による残留応力を除くため、室温で最低1日は放置する。

(c) モデル材の温度分布を均一にすること……一定の温度の場所に、丸一日以上放置する。

(d) 実験ごとの変形能のばらつきを防ぐこと……成形後、実験までの時間を揃える。実験のとき、試料の温度を直接に測つておく。

(ii) モデル実験の支配的パラメータが実物のそれと相似になるようにするには、実験条件の選定と、実験のやり方とにつき、次の注意が必要である。

(a) モデル材料の温度・ひずみ・ひずみ速度の範囲を適切に選ぶこと……温度のわずかな差で変形能が大きく異なるので、温度の管理をきびしくする。加工によつて生じたひずみが少ない(3%程度まで)と、疑似弾性回復現象により、残留した見かけのひずみが小さくなるので、この効果を考慮に入れる。

(b) 実験のやり方に注意すべきこと……一般的な注意の他に3.5に述べた点が重要であるが、特に摩擦状態を揃えることには注意する必要がある。

なお、以上の注意点を満たすべく実験を行うが、その実験を確実なものにするため、変形能を確認するための

一軸圧縮試験、およびモデル材の直接の温度測定を実験ごとに必ず行う必要がある。

5.3 圧延および連続铸造鉄片引き抜きへの適用

プラスチシンをモデル材料としたロール加工の応力解析は、相当な精度で行い得ることが明らかになつた。モデル実験の結果を実際の圧延や連続铸造の引き抜きに適用することの可否を検討するには、実際の加工での実測データがあれば最も望ましいことではあるが、十分なものは見当たらない。

圧延の実物実験では、測圧ピンを半径方向に取り付けて圧力を、半径から傾けたものから計算して円周方向の摩擦応力を測定した例は多い⁵⁾。平圧延および穴圧延でのロール面上の応力分布のものがほとんどである。平圧延でのデータと、4.3の応力分布とを比べると、定性的にはよく似ている。しかし、本研究のようにロール面上の3方向の応力を測定したものは少なく、まして加工材内部の応力分布を測定した例はない。

連続铸造鉄片の割れの防止については、内部の金属学的な研究はなされているが、応力分布を明らかにした研究はなされていないようである。ガイドロール・ピンチロールなどが加工材内部および表面に発生させる応力分布と、それに金属学的な問題とが掛け合わさつて、割れが生じるが、応力分布の研究が不十分のため、割れの発生と防止の統一的な解析ができないでいる。

本研究の方法によれば、圧延や連続铸造などのロールによる加工のシミュレーションが可能となるが、その特徴は次のとおりである。

- (i) ロールにかかる3方向の応力をすべて明らかにできること。
- (ii) 加工材内部の主応力分布が明らかになること。
- (iii) 以上により、3次元的な応力状態および力学量がほぼ明らかにできること。

また、本方法の具体的な適用の例としては、(i)圧下率の小さいロール加工、(ii)非対称圧延、(iii)ロール間に引張りまたは圧縮を加えた圧延または引き抜き、(iv)連続铸造引抜部での曲げ戻し、(v)内部に温度分布を与える変形抵抗の分布がある加工材の圧延または引き抜き、などが考えられる。

6. 結論

プラスチックを用いて、圧延および連続铸造铸片引き抜きの応力解析の方法につき研究を行った結果、次のことが明らかになつた。

- (i) 新たに開発した小形圧力計・小形摩擦力計・内部応力計等の応力検出器は十分な性能を持つていること。
- (ii) これらの検出器を用いた実験装置により、圧延

および連続铸造铸片の引き抜きによつて生じる力学的諸量のシミュレーション実験が可能のこと。

(iii) モデル実験の例として、単段ロールによるプラスチックの圧延を行い、ロールにかかる応力(圧力および2方向の摩擦応力)の分布・試料内部の主応力分布・ロールにかかる力・トルク等を明らかにした。

本研究を進めるにあたり、東京大学工学部木原諱二助教授に貴重な助言をいただいたこと、実験装置はすべて東京大学工学部機械工学科実験所の方々の製作なること、および東京大学工学部産業機械工学科千々岩研究室に在籍した多くの学生諸君の努力により研究が進められたこと等を記し、感謝の意を表したい。

文 献

- 1) 千々岩健児、畠村洋太郎、長谷川信樹: 鉄と鋼, 66 (1980) 5, p. 496
- 2) たとえば、五弓勇雄、細井信彦、加藤理生: 第20回塑性加工連合講演会(1969), p. 5, および中島浩衛、渡辺和夫: 第21回塑性加工連合講演会(1970), p. 195など
- 3) 千々岩健児、畠村洋太郎: 日本機械学会誌, 74 (1971) 631, p. 923
- 4) 畠村洋太郎: 日本機械学会誌, 77 (1974) 668, p. 777
- 5) 日本塑性加工学会: 日本の塑性加工(1975)